

## Waermekapazitaet von Diamant

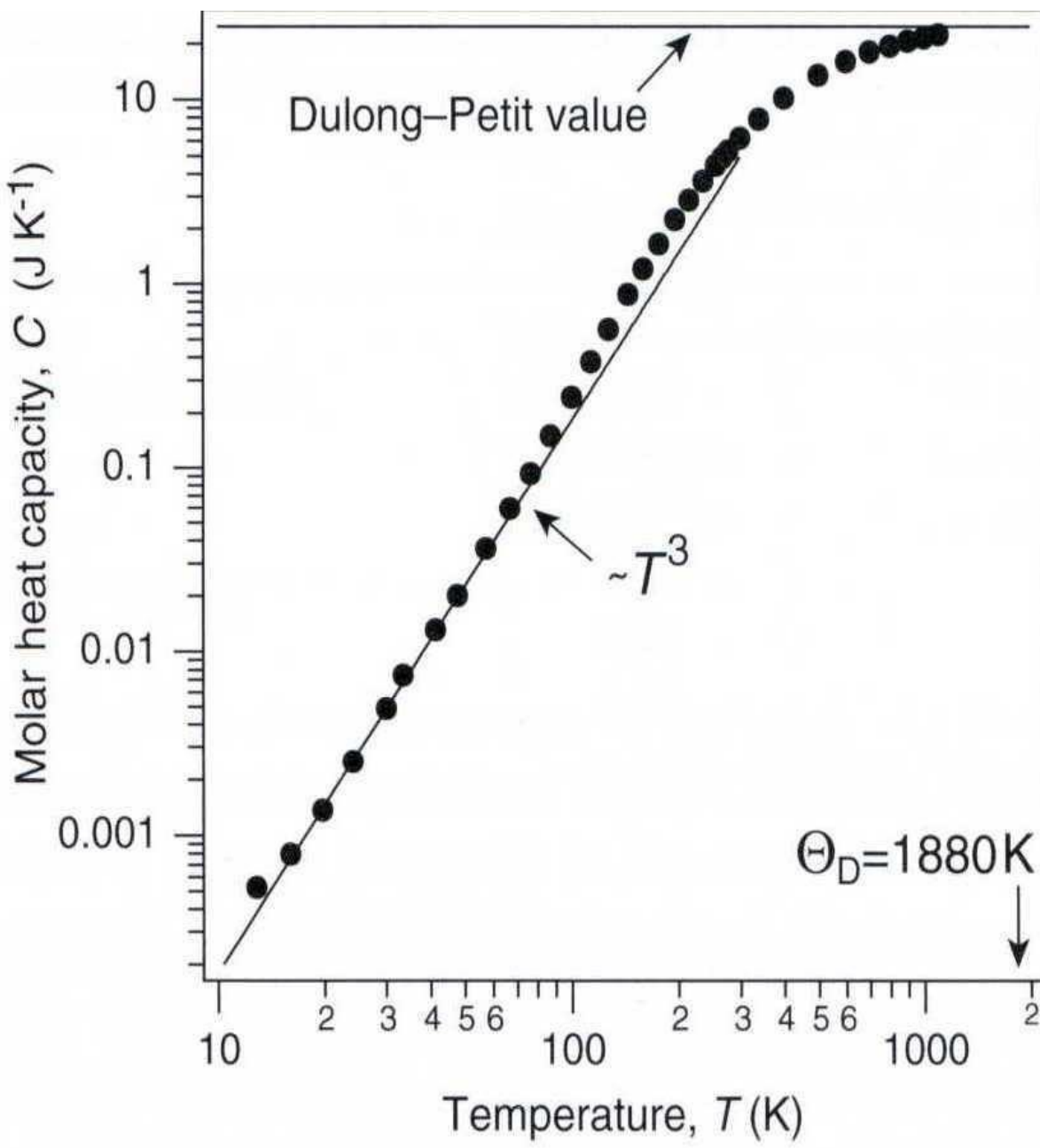


Fig. 3-5

# Temperaturabhängigkeit der Wärmekapazität im Einsteinmodell im Vergleich zu Daten fuer einen typischen Isolator

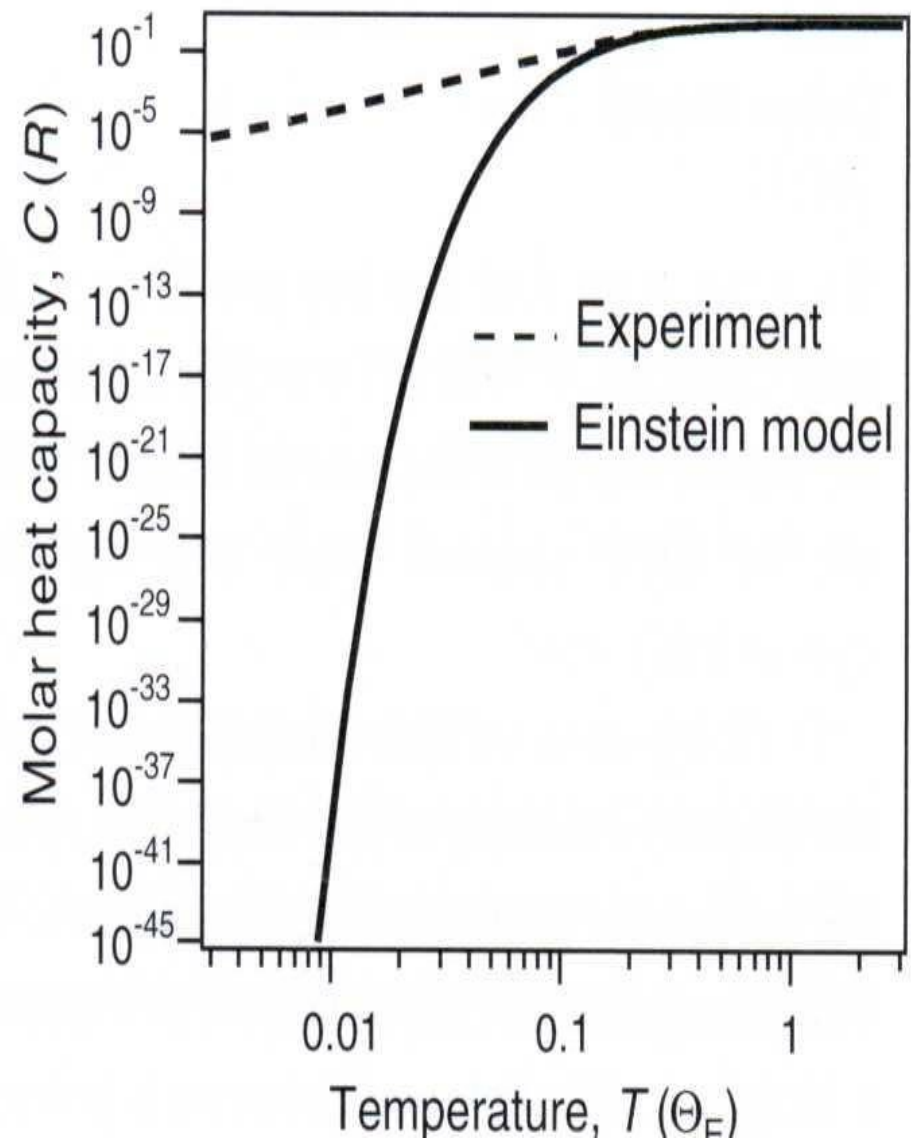
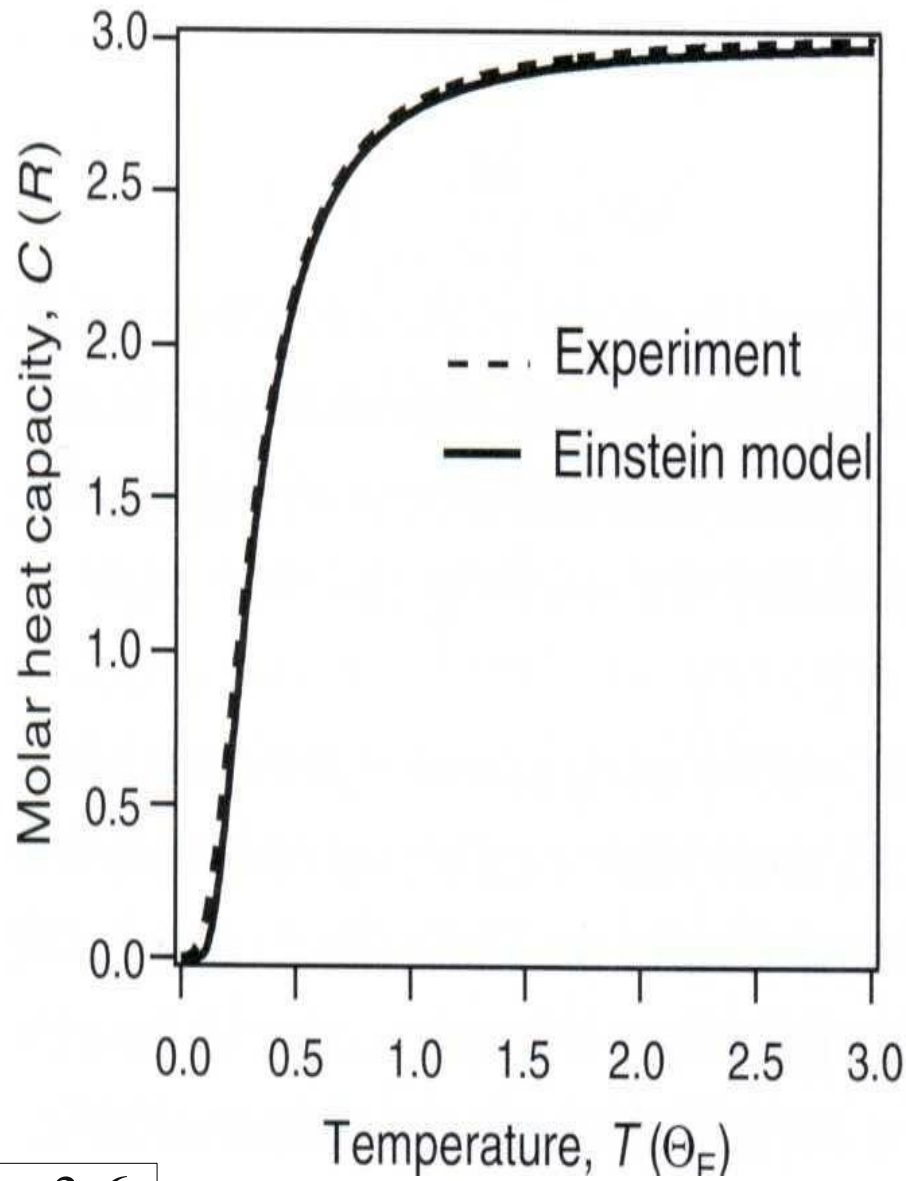
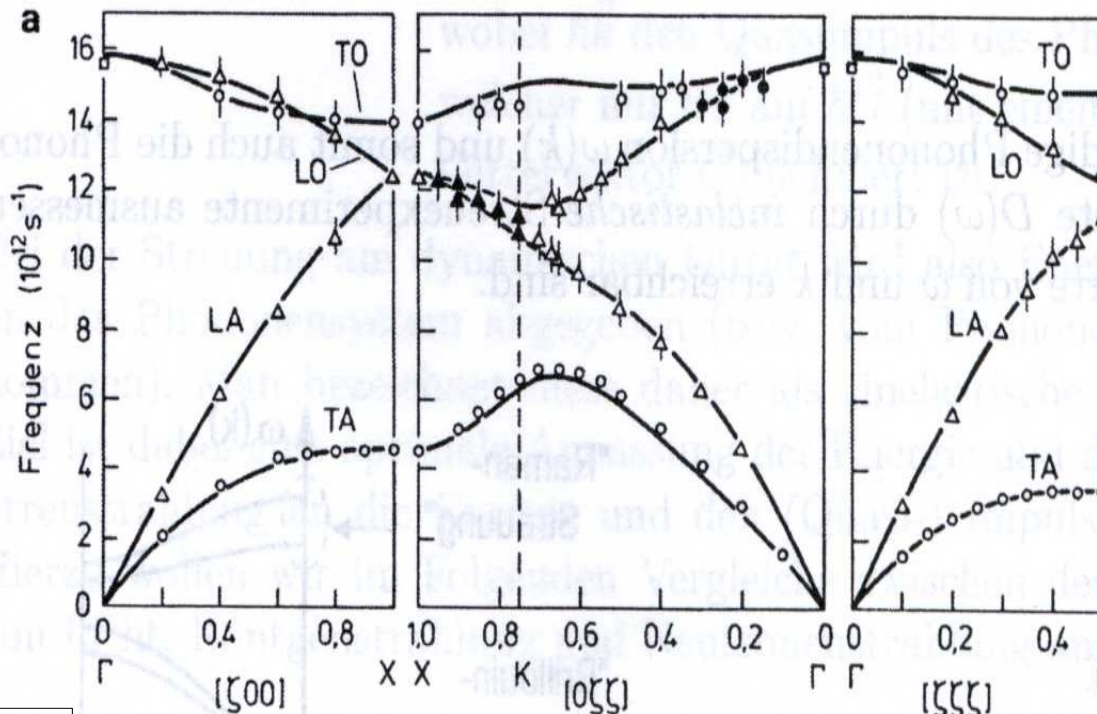
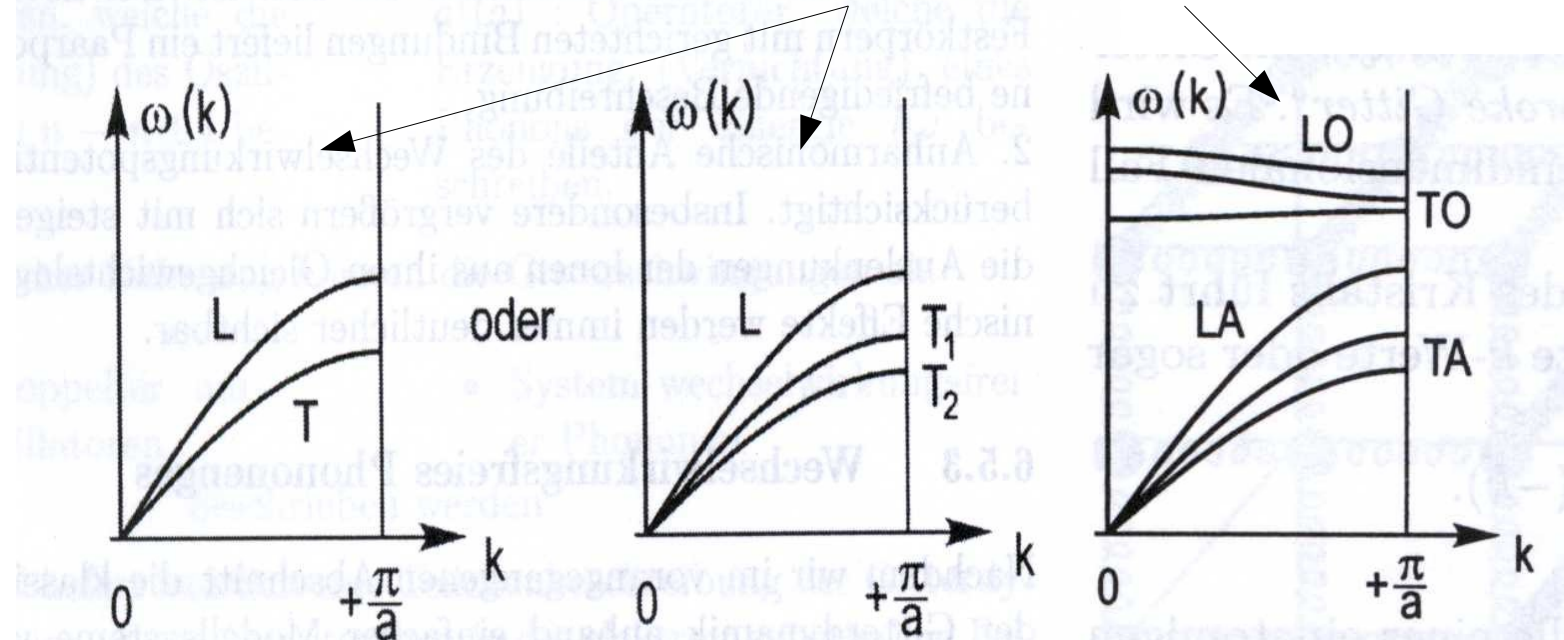


Fig. 3-6

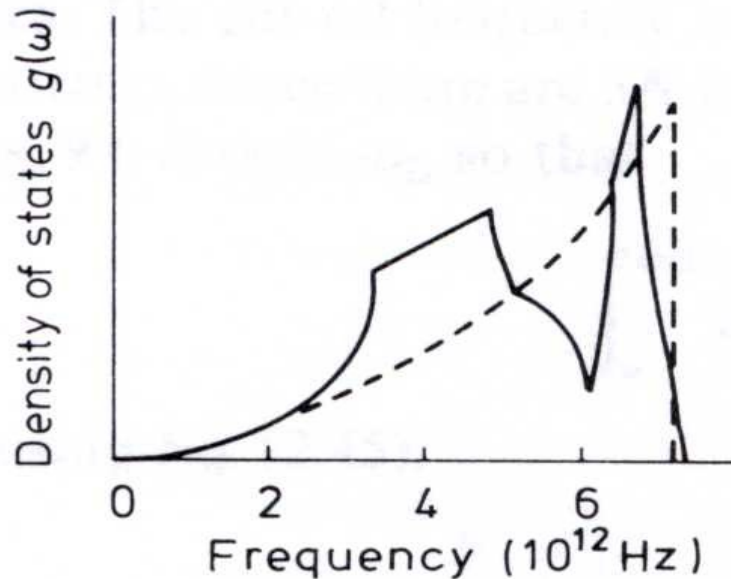
# Dispersionverhalten eines 3d Bravaisgitters mit ein- und zweiatomiger Basis



gemessene Dispersionrelation  
fuer Silizium  
in 3 kristallographischen  
Hauptrichtungen gemessen mit  
inelastischer Neutronenstreuung

Fig. 3-7

Zustandsdichte fuer Kupfer, gemessen in Neutronenstreuung (\_\_\_\_)  
im Vgl. zu Debye Zustandsdichte (-----)



Temperaturabhaengigkeit der Debye-Temperatur aus der exp. Zustandsdichte von oben (\_\_\_\_) im Vgl. zu aus der gemessenen Waermekapazitaet rueckgerechneten Werten  
-> Debey-Modell ziemlich gut

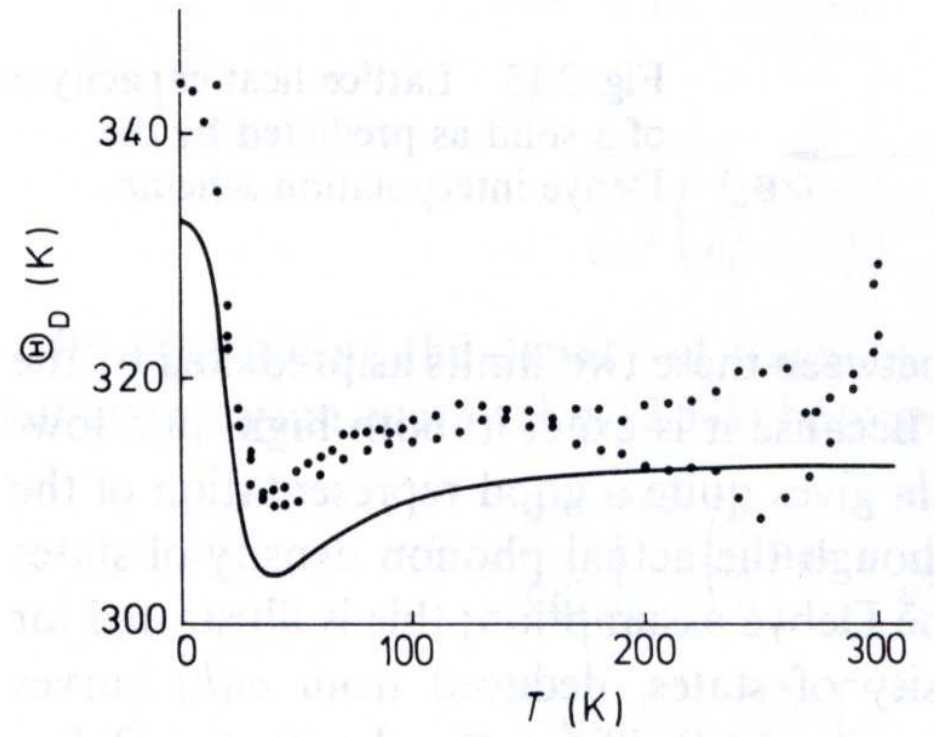


Fig. 3-8

Material	Bindung	$\Theta_D$ (K)	$\rightarrow \omega_D$	$\omega_{Young}$	$\omega_{meas}$
Blei	metallisch	105	$1.4 \cdot 10^{13}$	$4 \cdot 10^{12}$	$7 \cdot 10^{12}$
Diamant	kovalent	1860	$2.4 \cdot 10^{14}$	$9 \cdot 10^{13}$	$1.8 \cdot 10^{14}$

Fig. 3-8a

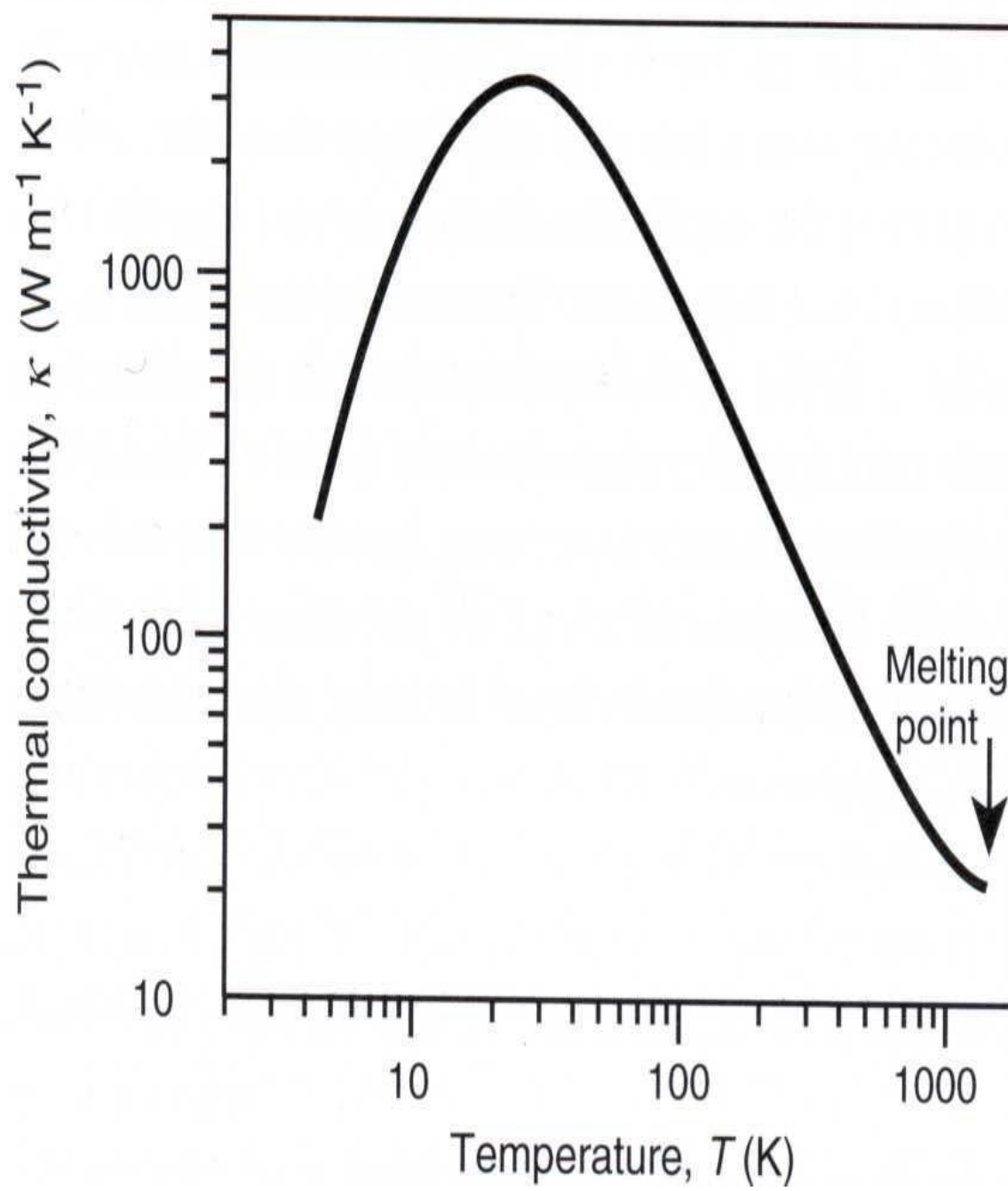


Fig. 3-8b

anhand der Vibrationsamplitude abgeschätzte Schmelztemperatur stimmt relativ gut mit Daten überein

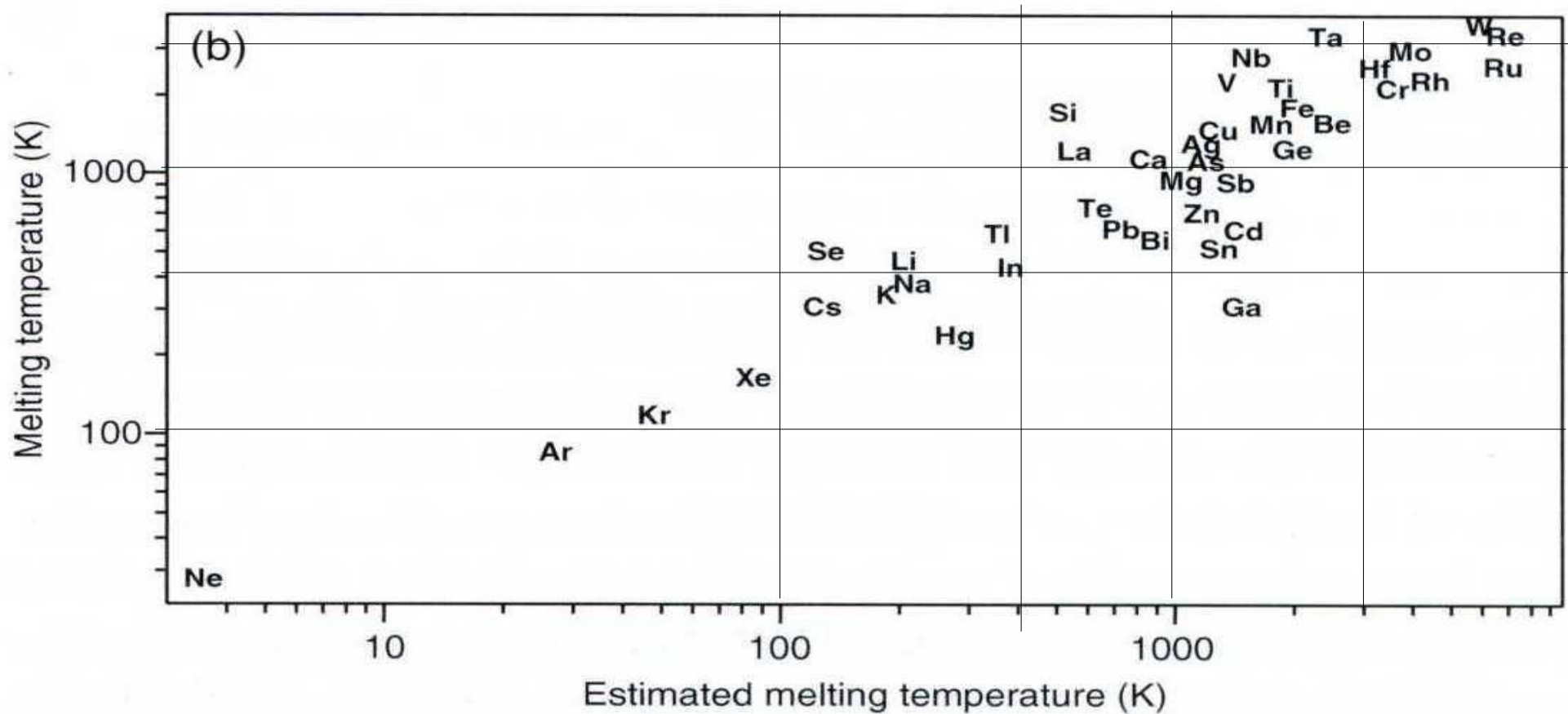


Fig. 3-9

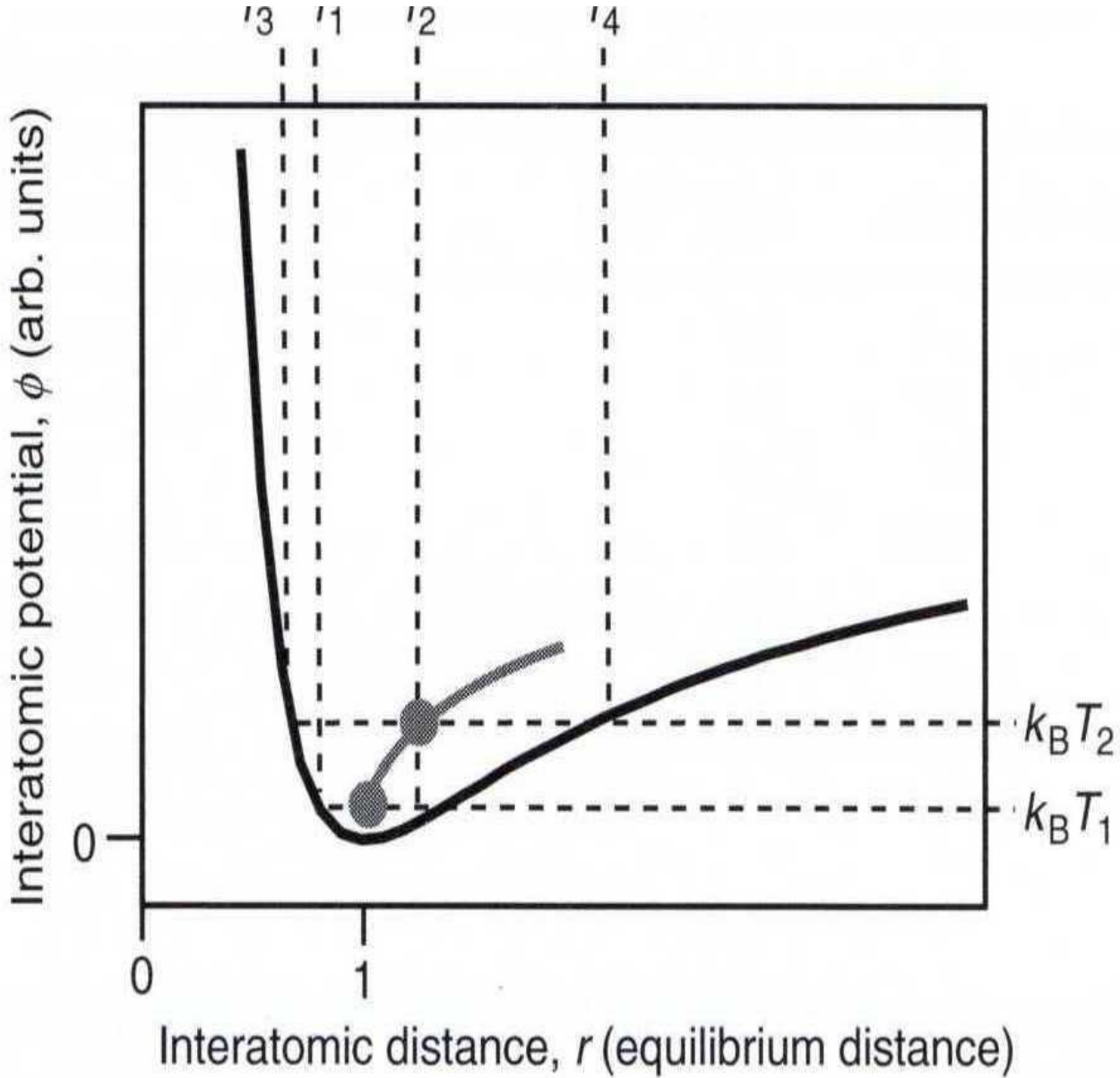


Fig. 3-10

Metall	$Z_V$	atomare Dichte $n (10^{28} m^{-3})$	$-\frac{1}{R_H n e} \approx Z_V^{exp}$	$\hbar\omega_p(eV)$	$\hbar\omega_p^{exp}(eV)$
Li	1	4,6	0,8	8,3	6,2
Na	1	2,5	1,0	6,2	
K	1	1,3	1,1	4,3	3,7
Cu	1	8,5	1,3	10,8	
Au	1	5,9	1,5	9,4	
Mg	2	4,3	1,6	10,9	10,6
Be	2	12,4	-0,2	18,6	
Al	3	6,0	3,5	15,8	15,3
Bi	5	2,8	$4,5 \cdot 10^{-4}$	13,9	

Tab. 4-1

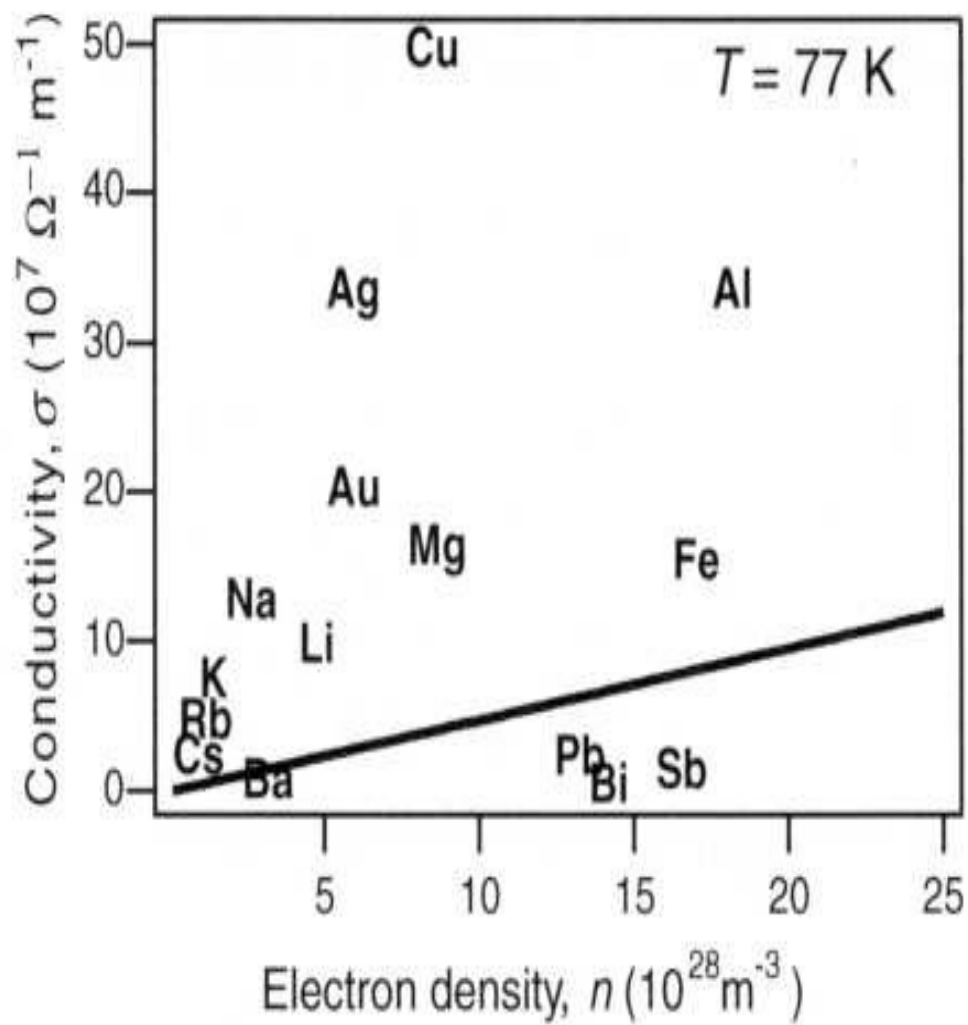
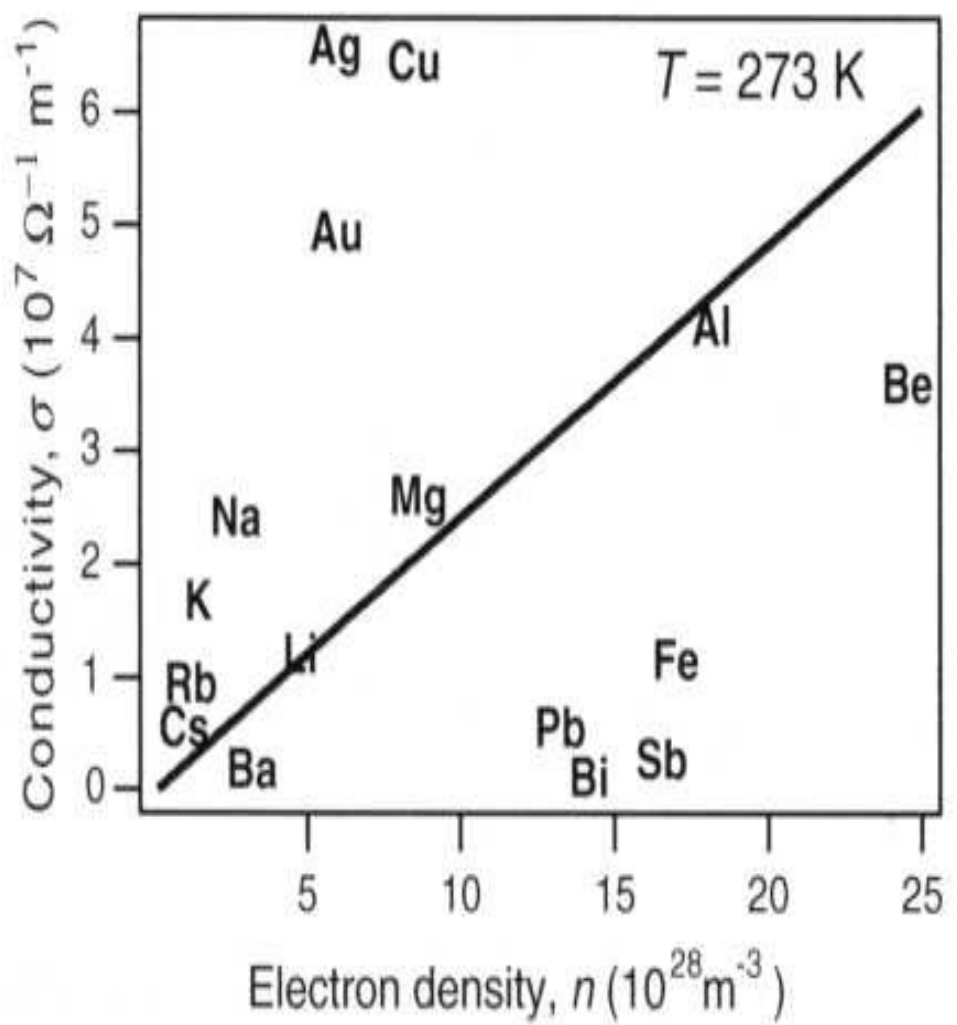


Fig. 4-1

Resistivitaet als Funktion der Temperatur fuer Na-Proben  
verschiedener Reinheit

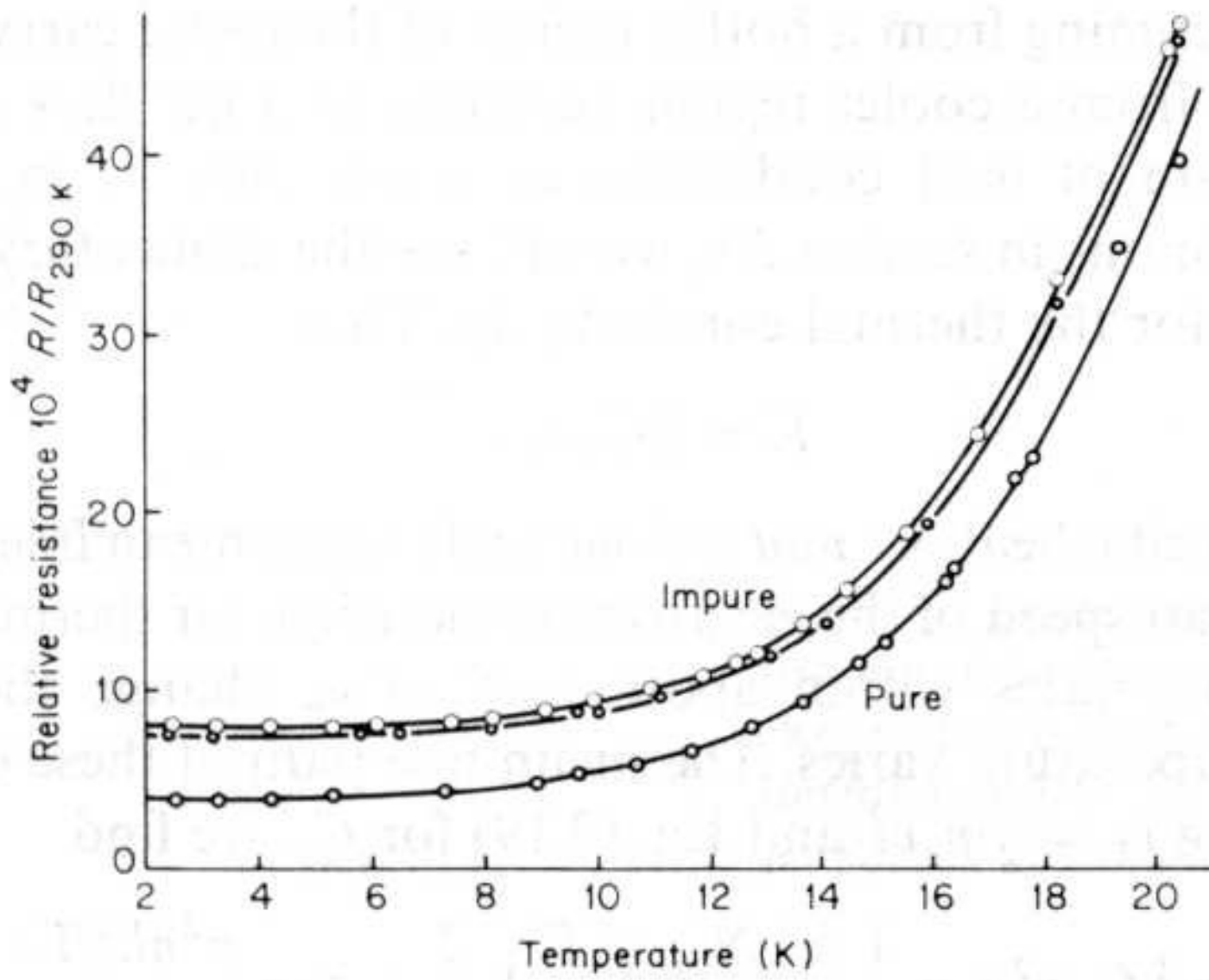


Fig. 4-2

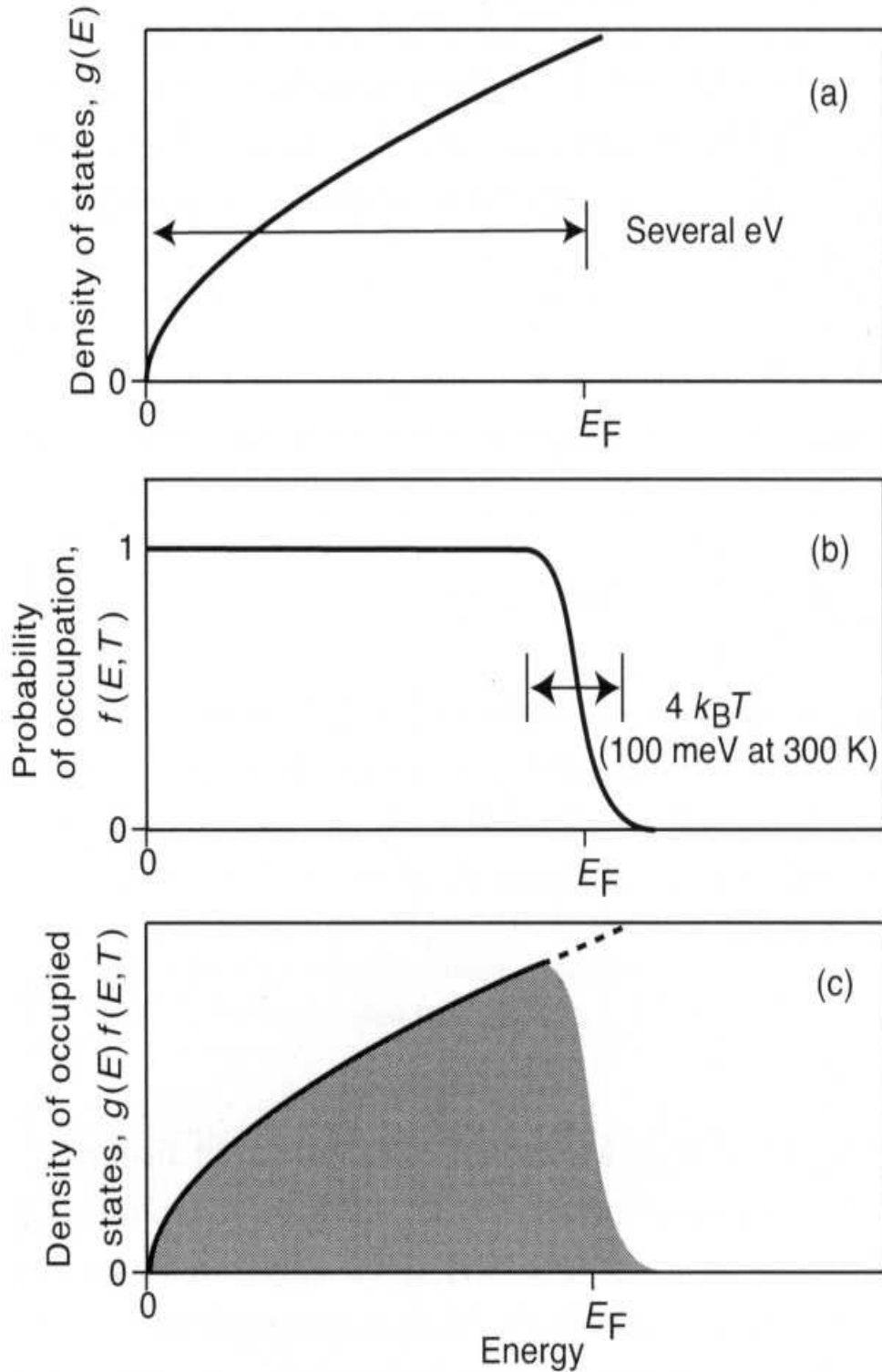


Fig. 4-3

Metall	$E_F$ (eV)	$v_F \cdot 10^6 \frac{m}{s}$	$T_F (10^4 K)$
Na	3,3	1,1	3,6
Ag	5,5	1,4	6,4
Cu	7,0	1,6	8,2
Al	11,7	2,0	13,5

Tab. 4-2

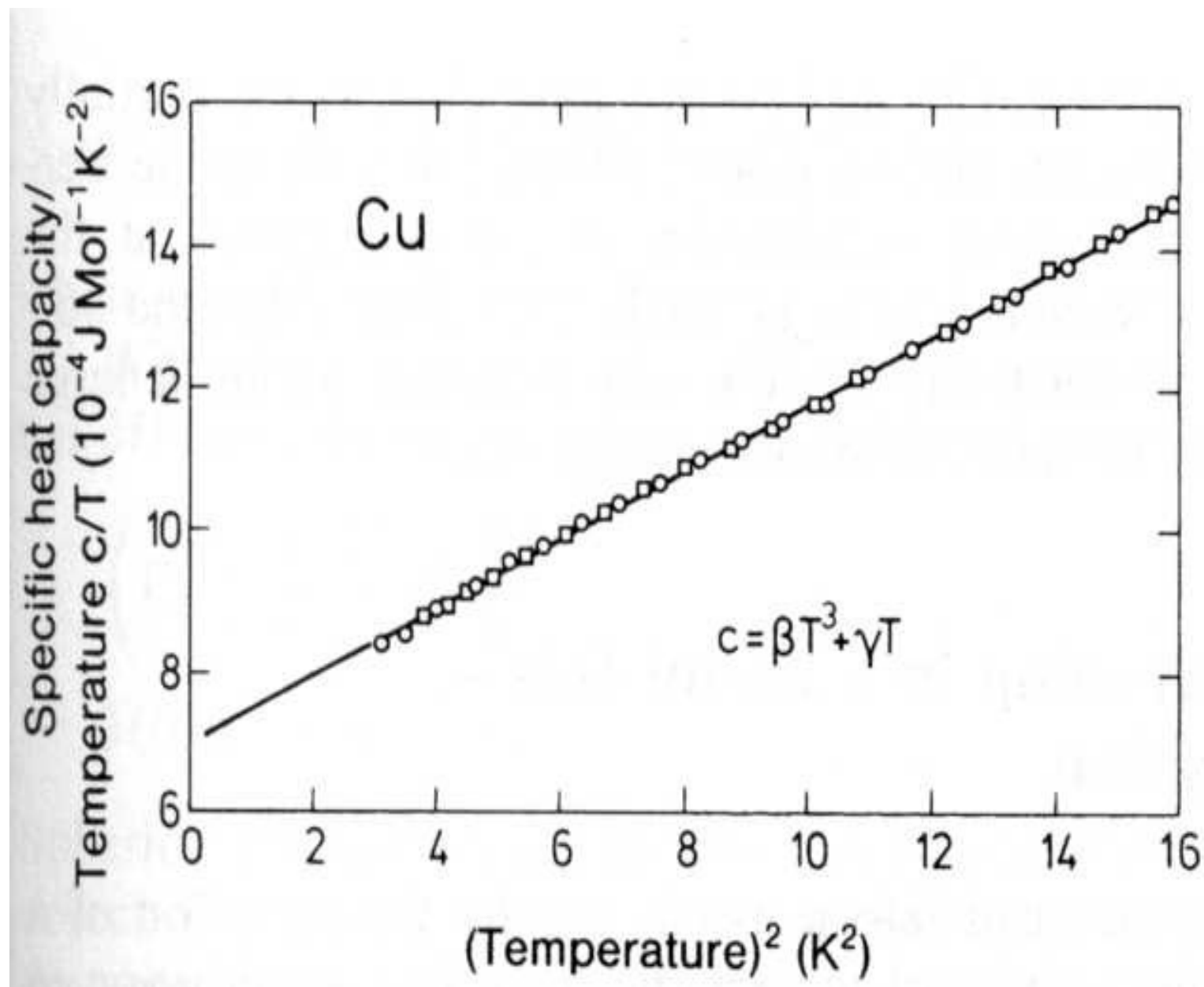


Fig. 4-4

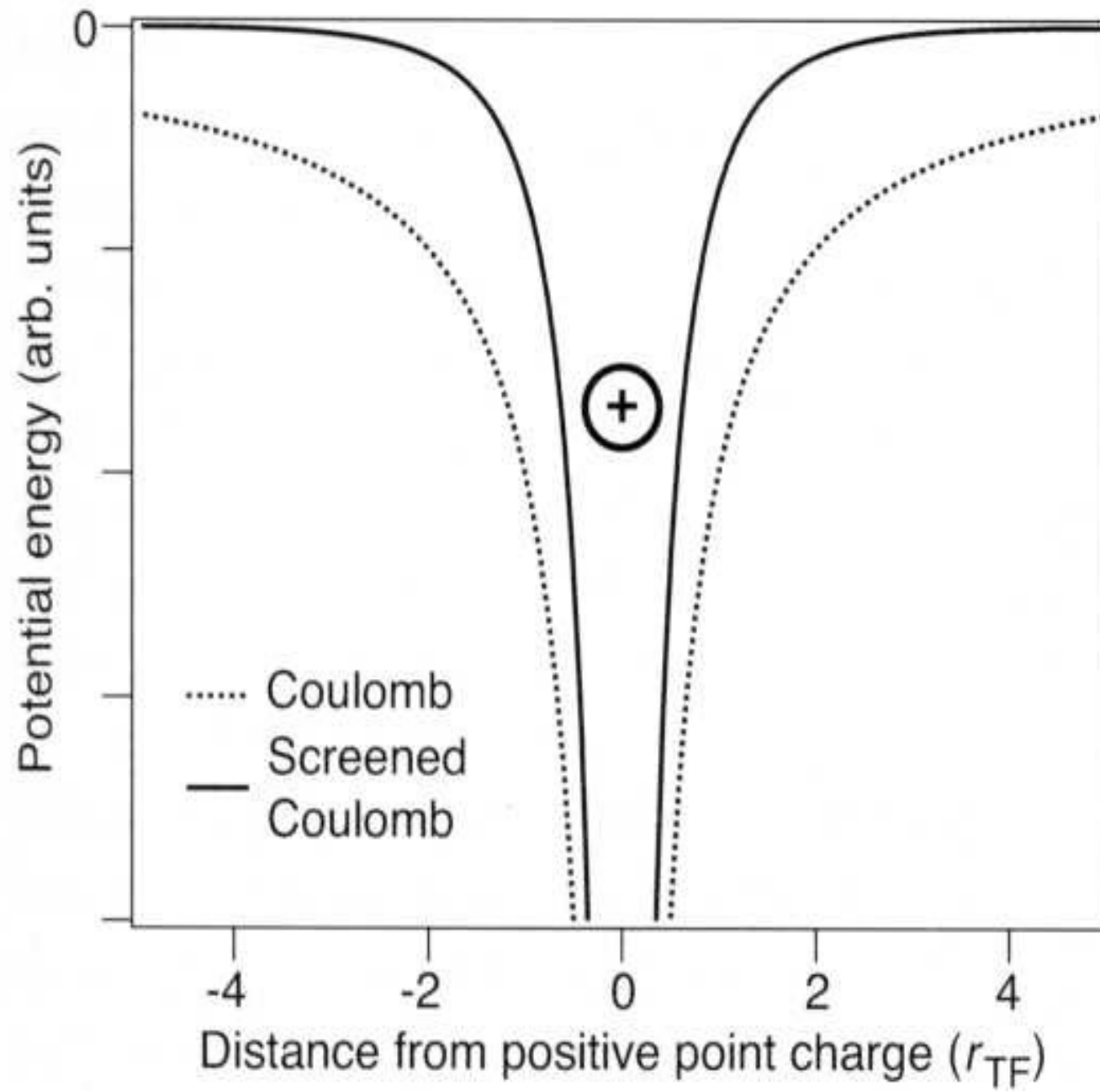


Fig. 4-5